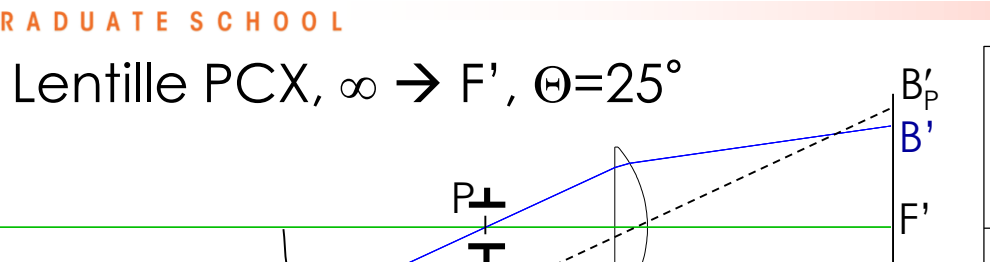


Chapitre 6

La distorsion



Etude expérimentale



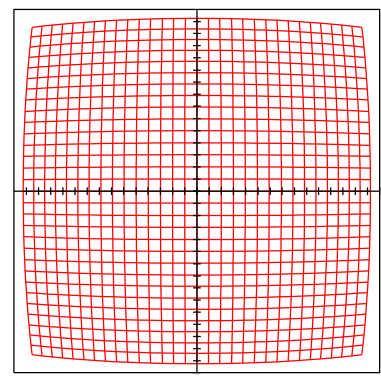


Image nette, en barillet

$$\frac{dy'}{y'} = -10\%$$
 en bord de champ

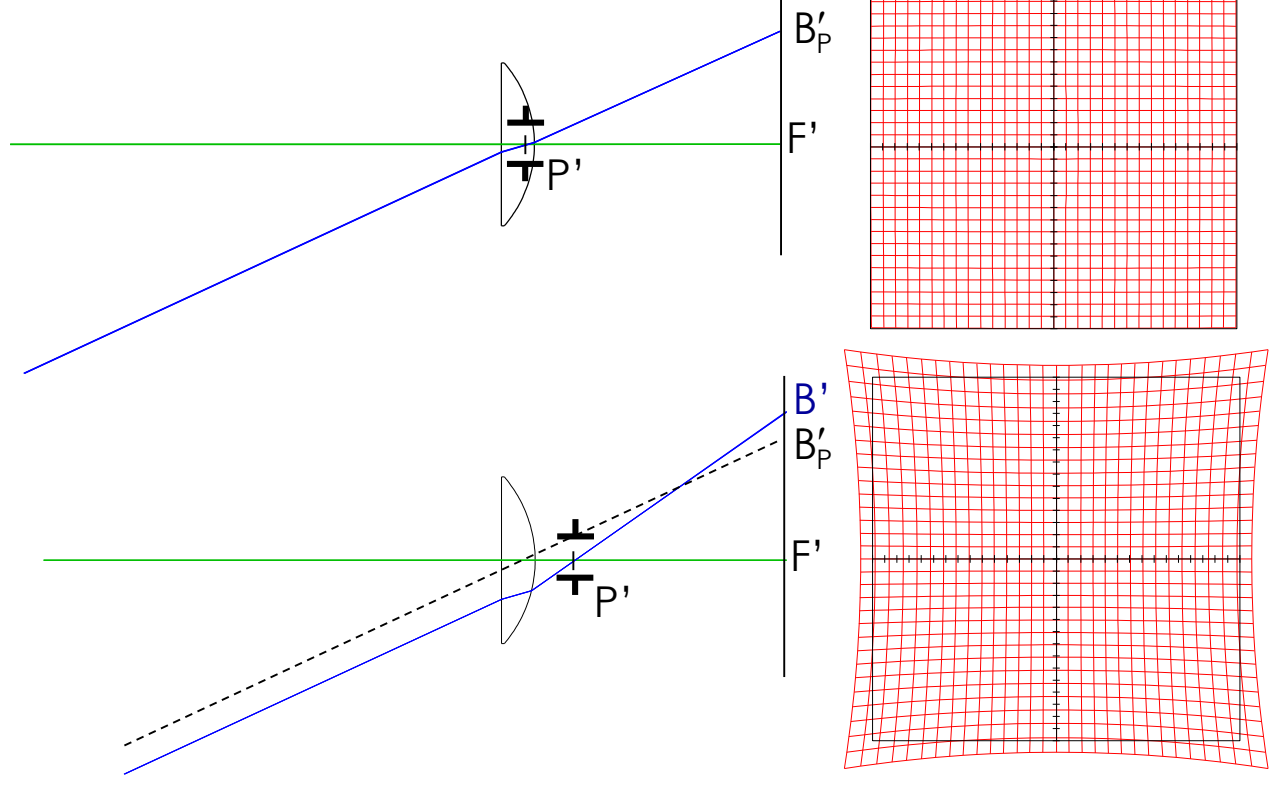


Image nette, en coussinet

$$\frac{dy'}{y'} = +15\%$$
 en bord de champ



Relations générales

Ecart normal : $\Delta(y', \alpha', \phi) \propto \alpha' y'^{2q+1} \cos \phi \quad (q \ge 1) \rightarrow Tilt non linéaire en y'$

par rapport à la sphère S_P centrée en B'_P

$$\begin{cases} dy' \propto y'^{2q+1} \\ dx' = 0 \end{cases}$$

→ L'image d'une grille est **nette**, mais **distordue**

Grandissement transversal:
$$g_y = \frac{y' + dy'}{y} = (g_y)_P \times [1 + Dy'^2 + D'y'^4 + \cdots]$$

Condition d'orthoscopie (pas de distorsion): $\forall y', g_y = cste = (g_y)_P$

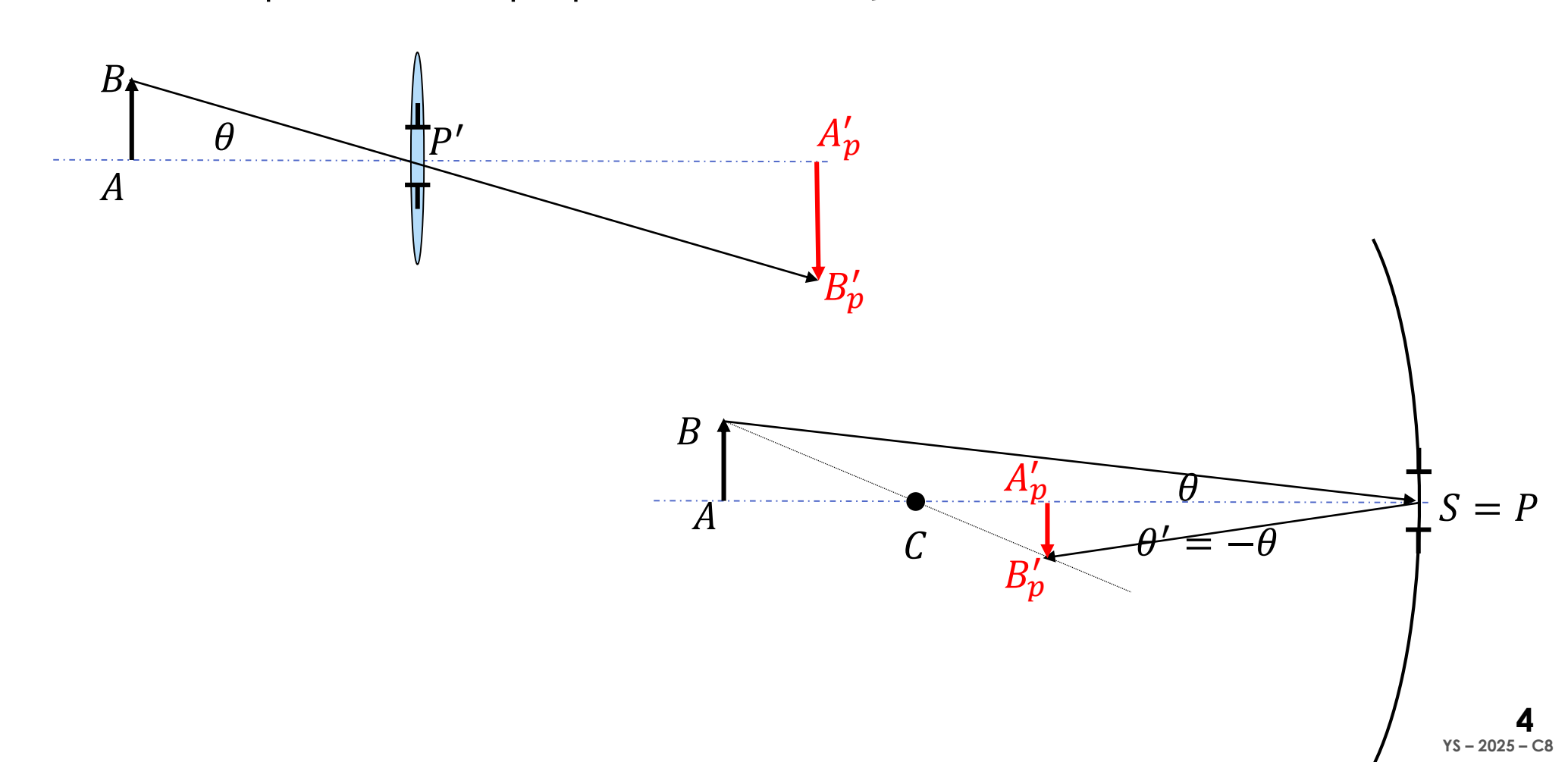
c'est-à-dire
$$\forall \theta$$
, $\frac{\overline{P'A'} \tan \theta'}{\overline{PA} \tan \theta} = \text{cste} = (g_y)_P$



Exemples de systèmes sans distorsion

- Lentille mince portant la pupillemiroir portant la pupille

Vrai pour toute conjugaison





Distorsion du 3^e ordre

Tilt selon y' de l'image :
$$\begin{cases} dy' = D \ y'^3 \\ dx' = 0 \end{cases} \text{ au } 3^e \text{ ordre}$$
 Ecart normal / sphère S_P :
$$\Delta = D \ y'^3 \ \alpha' \text{ cos } \phi$$

$$dy' \times 2\sqrt{2}$$

Critère visuel : Distorsion gênante lorsque dy'/y' > 3%



Chapitre 7

Variations des aberrations avec la position de la pupille



Exemple 1 : le chromatisme latéral

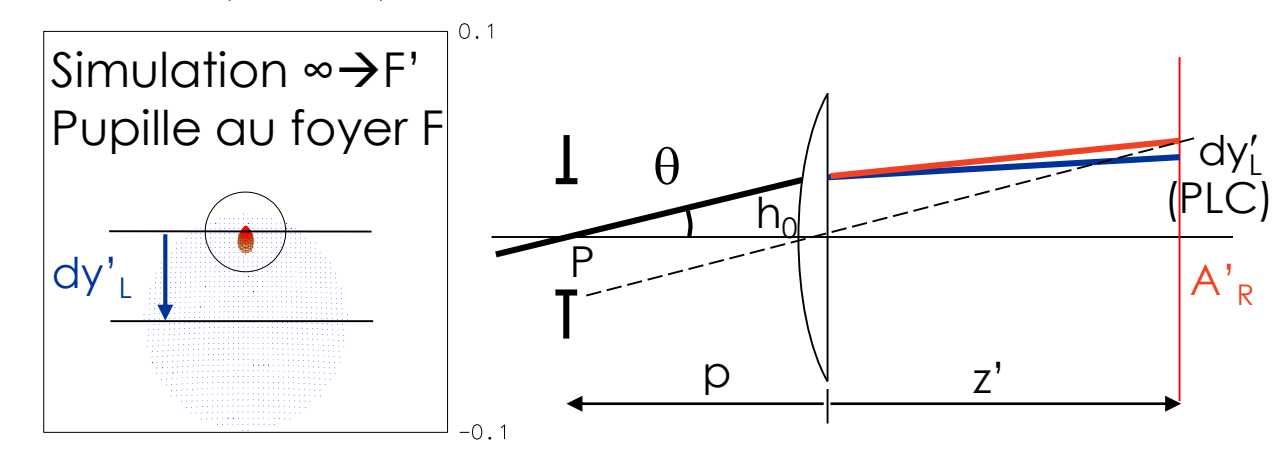
Lentille mince PCX, BK7, f' = 150mm, ON=0.02, θ =1°

Chromatisme latéral:
$$dy'_{L} = z' dD = z' \times \left(-h_0 \frac{C}{v}\right)$$

$$h_0 = -p \theta$$

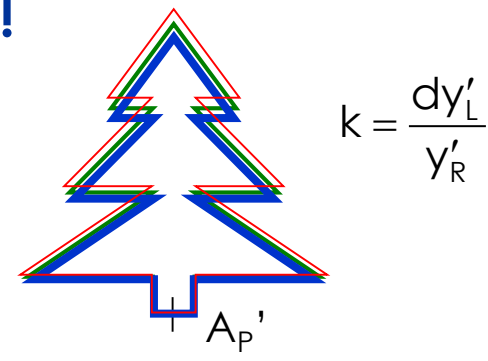
$$y'_{R} = z' \theta$$

$$dy_L' = p \frac{C}{v} y_R'$$



dépend de la position de la pupille!

Ecart normal (tilt): $\Delta = \alpha' dy' \cos \varphi$





Exemple 1 : le chromatisme latéral

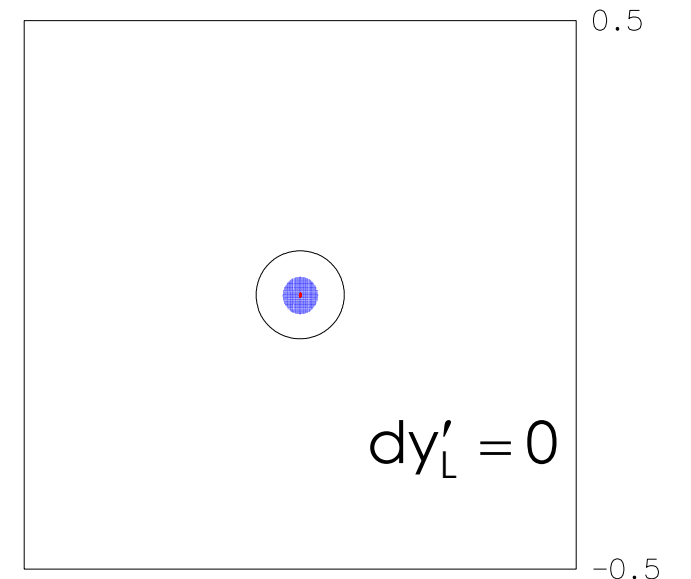
Lentille mince $\infty \rightarrow F'$, f'=150mm, ON=0.005, Θ =3°



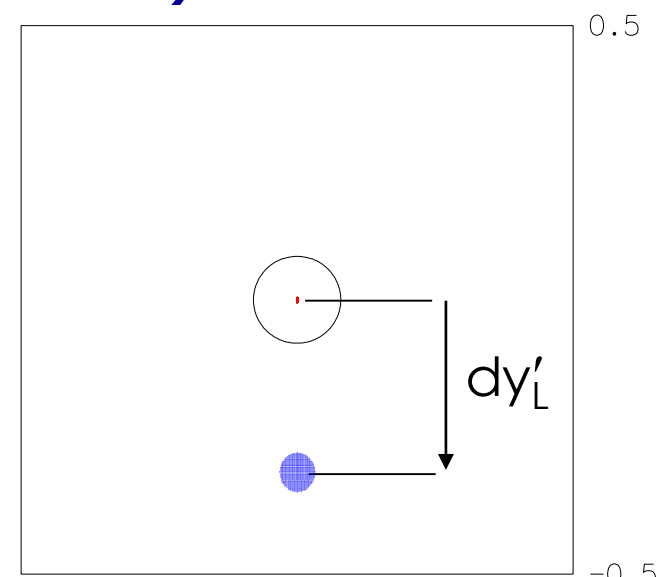
Pupille sur la lentille

Pupille en avant de la lentille

Spots diagrammes en bord de champ $(y'_R=7.8mm)$



Chromatisme axial,
Mais **pas de chromatisme latéral**



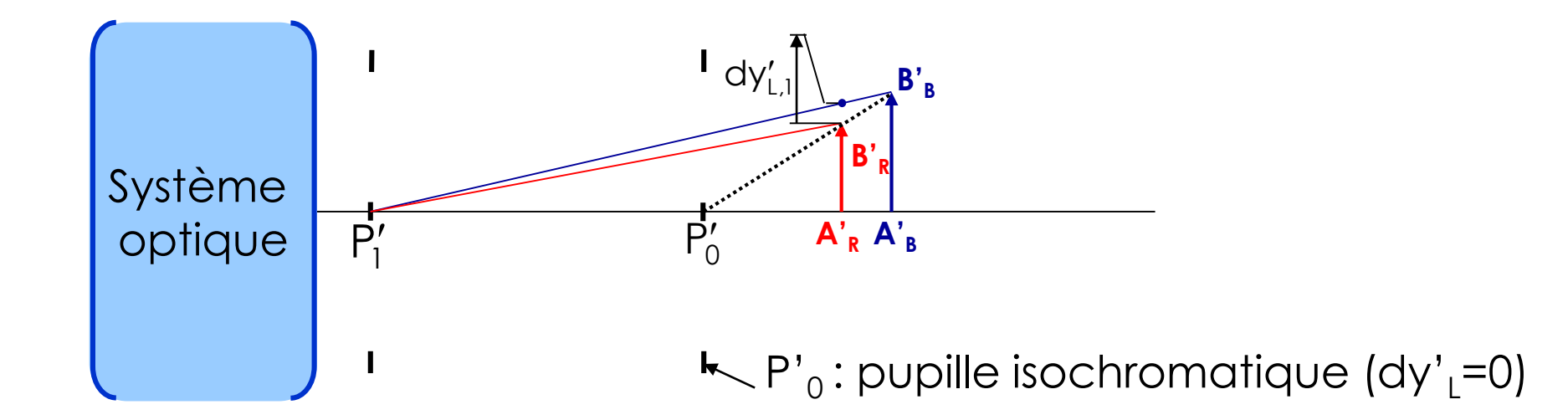
Chromatisme axial, et chromatisme latéral



PAC, PLC, pupille isochromatique

PAC: Primary Axial Chromatism \rightarrow dz' = $\overline{A'_R A'_B} \neq 0$

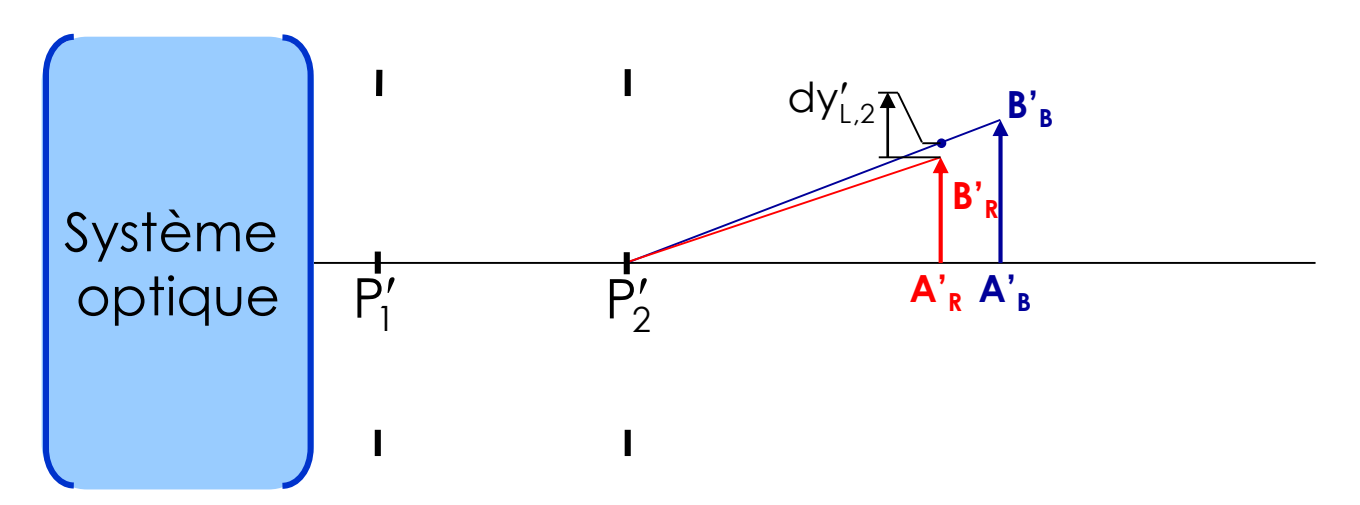
PLC: Primary Lateral Chromatism $\rightarrow k = dy'_L/y'_R \neq 0$





PAC: Primary Axial Chromatism \rightarrow dz' = $\overline{A'_R A'_B} \neq 0$

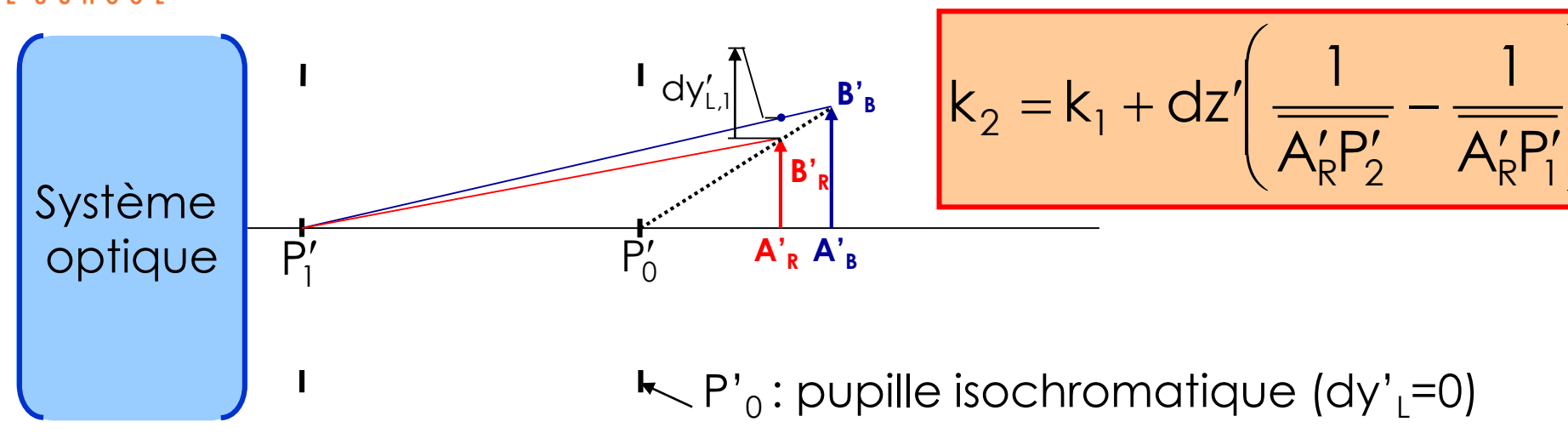
PLC: Primary Lateral Chromatism $\rightarrow k = dy'_L/y'_R \neq 0$



Variation du chromatisme latéral avec la position de la pupille

Chromatisme axial
$$k_2 = k_1 + dz' \left(\frac{1}{\overline{A_R'P_2'}} - \frac{1}{\overline{A_R'P_1'}} \right)$$





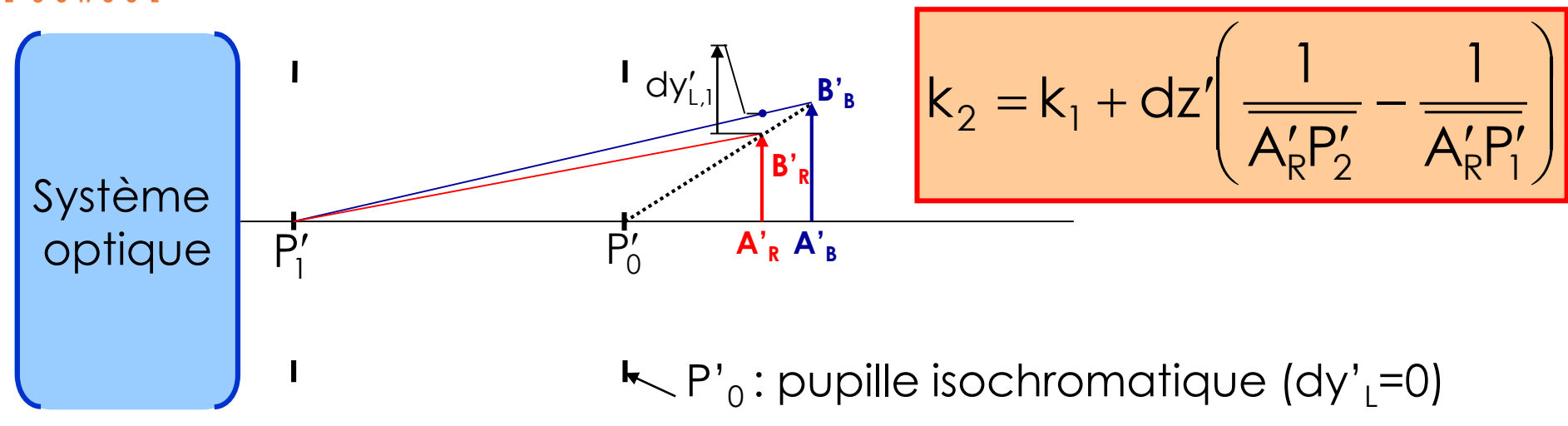
Preuve: pour la pupille en P',
$$dy'_L + y'_R = \overline{A'_B B'_B} \cdot \frac{P'A'_R}{\overline{P'A'_R} + dz'}$$

pour la pupille en
$$P_0'$$
, $y_R' = \overline{A_B'B_B'}$. $\frac{P_0'A_R'}{\overline{P_0'A_R'}+dz'}$

Le rapport de ces deux expressions donne :

$$\frac{dy'_{L}}{y'_{R}} + 1 = \frac{1 + \frac{dz'}{\overline{P'_{0}A'_{R}}}}{1 + \frac{dz'}{\overline{P'_{0}A'_{R}}}} \sim \left(1 + \frac{dz'}{\overline{P'_{0}A'_{R}}}\right) \left(1 - \frac{dz'}{\overline{P'_{0}A'_{R}}}\right)$$





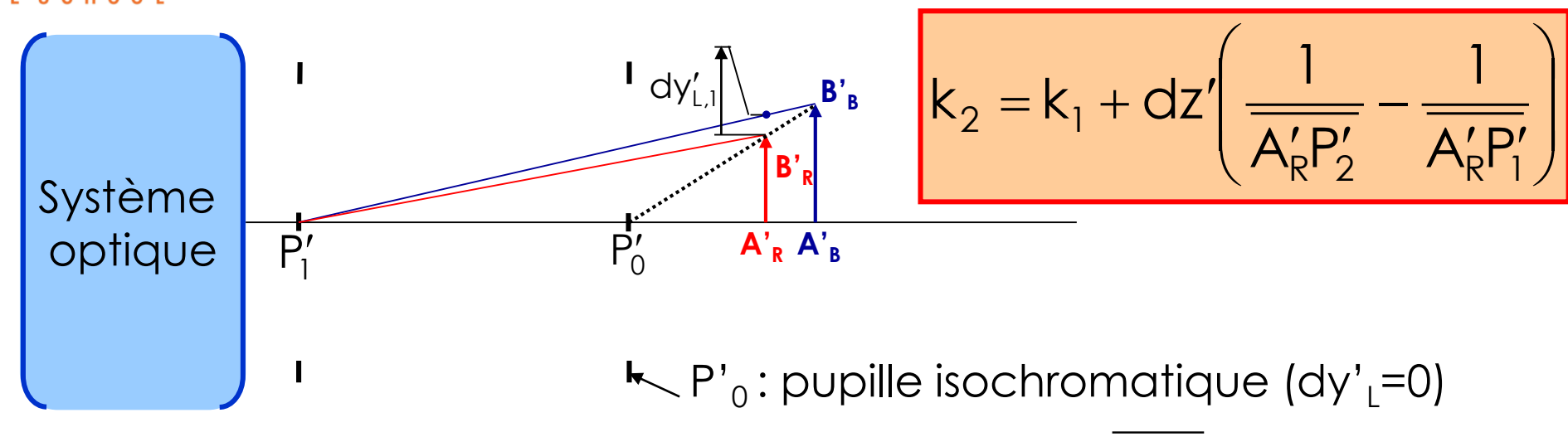
Preuve: pour la pupille en P',
$$dy'_L + y'_R = \overline{A'_B B'_B} \cdot \frac{P'A'_R}{\overline{P'A'_R} + dz'}$$

pour la pupille en
$$P_0'$$
, $y_R' = \overline{A_B'B_B'}$. $\frac{P_0'A_R'}{\overline{P_0'A_R'}+dz'}$

Le rapport de ces deux expressions donne :

$$\frac{dy'_L}{y'_R} + 1 = \frac{1 + \frac{dz'}{\overline{P'_0 A'_R}}}{1 + \frac{dz'}{\overline{P'_0 A'_R}}} \sim 1 + dz' \left(\frac{1}{\overline{A'_R P'}} - \frac{1}{\overline{A'_R P'_0}}\right)$$





Preuve: pour la pupille en P',
$$dy'_L + y'_R = \overline{A'_B B'_B} \cdot \frac{P'A'_R}{\overline{P'A'_R} + dz'}$$

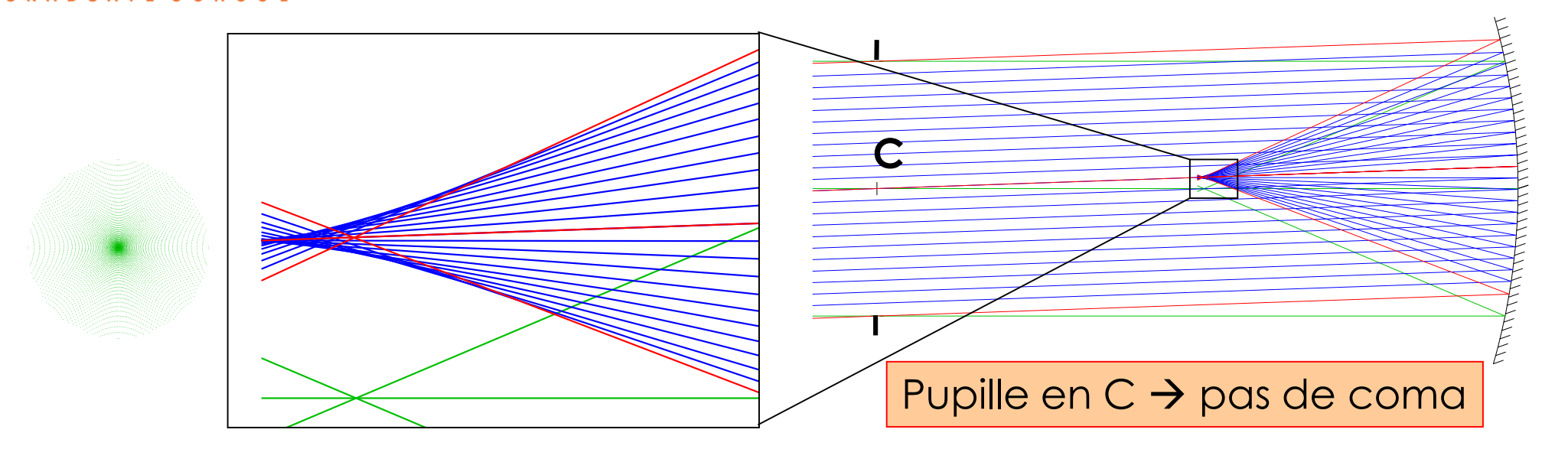
pour la pupille en
$$P_0'$$
, $y_R' = \overline{A_B'B_B'}$. $\frac{P_0'A_R'}{\overline{P_0'A_R'}+dz'}$

Le rapport de ces deux expressions donne :

$$\frac{dy_L'}{y_R'} = dz' \left(\frac{1}{\overline{A_R'P'}} - \frac{1}{\overline{A_R'P_0'}} \right)$$



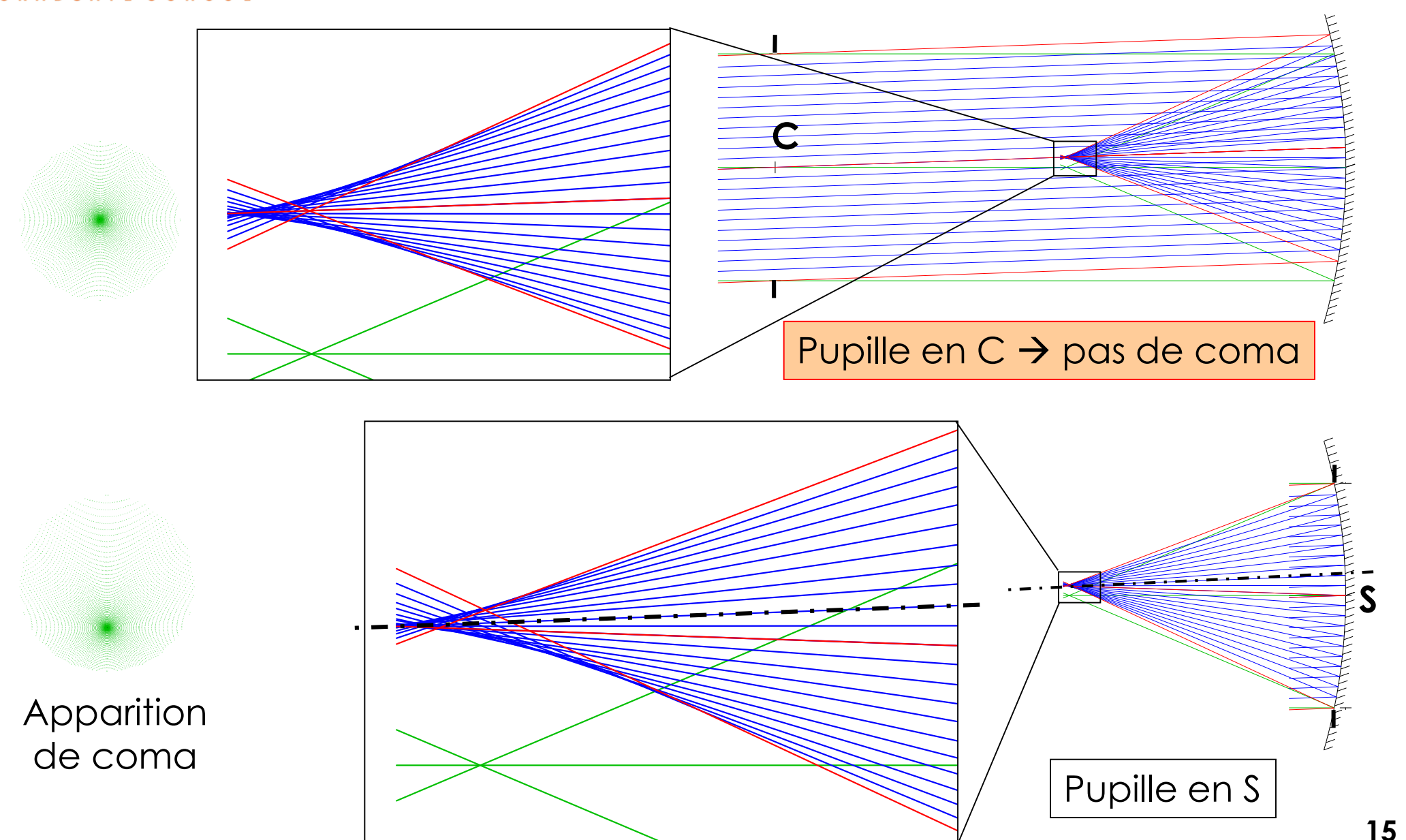
Exemple 2 : la coma





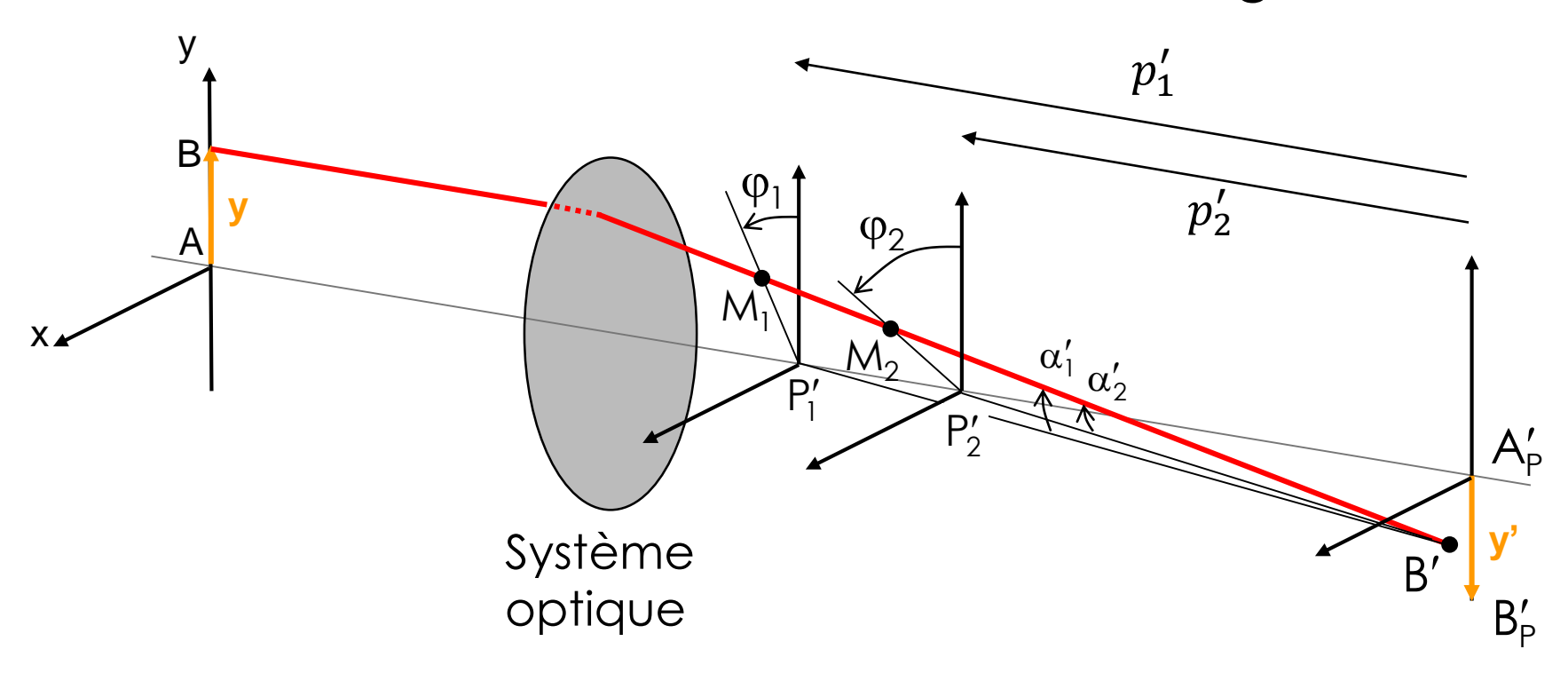
Exemple 2: la coma

YS - 2025 - C8





 Déplacement de la pupille = filtrage des rayons qui participent à la tache image



$$M_1 \begin{bmatrix} p_1' \alpha_1' \cos \varphi_1 \\ p_1' \alpha_1' \sin \varphi_1 \\ p_1' \end{bmatrix}$$

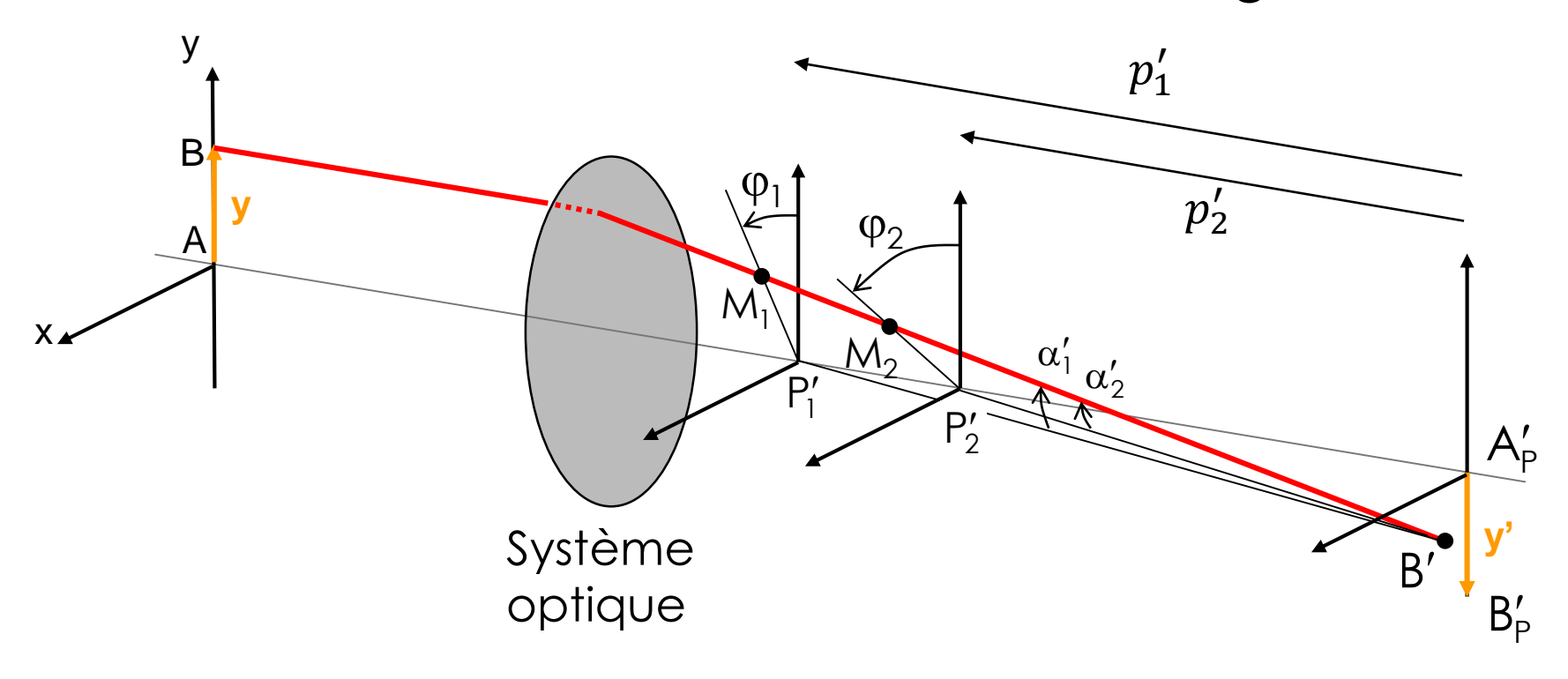
$$M_1 \begin{bmatrix} p_1' \alpha_1' \cos \varphi_1 \\ p_1' \alpha_1' \sin \varphi_1 \\ p_1' \end{bmatrix} \quad M_2 \begin{bmatrix} p_2' \alpha_2' \cos \varphi_2 \\ p_2' \alpha_2' \sin \varphi_2 \\ p_2' \end{bmatrix} \quad B' \begin{bmatrix} y' \\ 0 \\ 0 \end{bmatrix}$$

$$B'\begin{bmatrix} y'\\0\\0\end{bmatrix}$$

Changement de coordonnées $(\alpha'_1, \varphi'_1) \rightarrow (\alpha'_2, \varphi'_2)$?



 Déplacement de la pupille = filtrage des rayons qui participent à la tache image



$$M_1 \begin{bmatrix} p_1' \alpha_1' \cos \varphi_1 \\ p_1' \alpha_1' \sin \varphi_1 \\ p_1' \end{bmatrix}$$

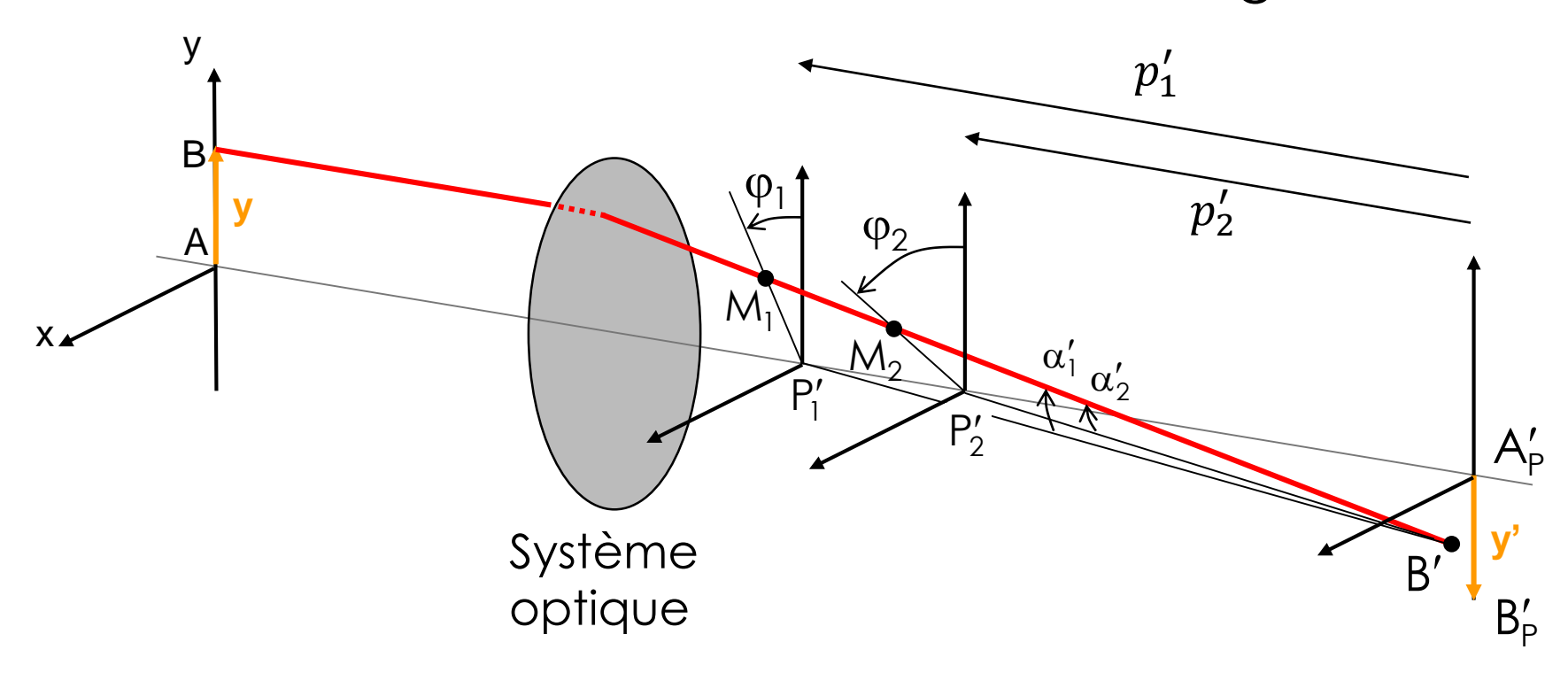
$$M_1 \begin{bmatrix} p_1' \alpha_1' \cos \varphi_1 \\ p_1' \alpha_1' \sin \varphi_1 \\ p_1' \end{bmatrix} \quad M_2 \begin{bmatrix} p_2' \alpha_2' \cos \varphi_2 \\ p_2' \alpha_2' \sin \varphi_2 \\ p_2' \end{bmatrix} \quad B' \begin{bmatrix} y' \\ 0 \\ 0 \end{bmatrix}$$

$$B'\begin{bmatrix} y'\\0\\0\end{bmatrix}$$

$$\frac{p_{2}'\alpha_{2}'\cos\varphi_{2}-y'}{p_{1}'\alpha_{1}'\cos\varphi_{1}-y'} = \frac{p_{2}'\alpha_{2}'\sin\varphi_{2}}{p_{1}'\alpha_{1}'\sin\varphi_{1}} = \frac{p_{2}'}{p_{1}'\alpha_{1}'\sin\varphi_{1}}$$

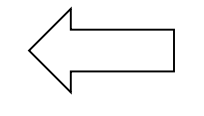


 Déplacement de la pupille = filtrage des rayons qui participent à la tache image



$$\alpha_1' \sin \varphi_1 = \alpha_2' \sin \varphi_2$$

$$\alpha_1' \cos \varphi_1 = \alpha_2' \cos \varphi_2 + y' \left(\frac{1}{p_1'} - \frac{1}{p_2'}\right)$$



 $\frac{p_{2}'\alpha_{2}'\cos\varphi_{2}-y'}{p_{1}'\alpha_{1}'\cos\varphi_{1}-y'} = \frac{p_{2}'\alpha_{2}'\sin\varphi_{2}}{p_{1}'\alpha_{1}'\sin\varphi_{1}} = \frac{p_{2}'}{p_{1}'\alpha_{1}'\sin\varphi_{1}}$



 $p'_i = \overline{A'_P P'_i}$: positions de la pupille de sortie (origine en A'_P) $a_2 = a_1$

$$a_2 = a_1$$

$$b_2 = b_1 + a_1 \left(\frac{1}{p_2'} - \frac{1}{p_1'} \right)$$

1807-1891 Mathématicien Inventeur & physicien



Aberrations du 3e ordre
$$\begin{cases} C_2' = C_1' + 8b_1 \left(\frac{1}{p_2'} - \frac{1}{p_1'} \right) + 4a_1 \left(\frac{1}{p_2'} - \frac{1}{p_1'} \right)^2 \\ A_2' = A_1' - 4b_1 \left(\frac{1}{p_2'} - \frac{1}{p_1'} \right) - 2a_1 \left(\frac{1}{p_2'} - \frac{1}{p_1'} \right)^2 \end{cases}$$
Courbure de Petzval:
$$C_2' + 2A_2' = C_1' + 2A_1'$$
indépendante de p';!

$$A_2' = A_1' - 4b_1 \left(\frac{1}{p_2'} - \frac{1}{p_1'} \right) - 2a_1 \left(\frac{1}{p_2'} - \frac{1}{p_1'} \right)^2$$

$$C_2' + 2A_2' = C_1' + 2A_1'$$

$$D_{2} = D_{1} + \frac{C'_{1} - A'_{1}}{2} \left(\frac{1}{p'_{2}} - \frac{1}{p'_{1}} \right) + 3b_{1} \left(\frac{1}{p'_{2}} - \frac{1}{p'_{1}} \right)^{2} + a_{1} \left(\frac{1}{p'_{2}} - \frac{1}{p'_{1}} \right)^{3}$$

Chromatisme latéral:
$$k_2 = k_1 + dz' \left(\frac{1}{p_2'} - \frac{1}{p_1'} \right)$$
 (dz': chrom. axial primaire)



Aberrations du miroir sphérique $\infty \rightarrow F'$

Aberration sphérique : a = -R/16

Coma: b= 0 lorsque P'= Centre de courbure

b=1/4 lorsque P'= Sommet → b indépendant de la conicité

Preuve: $a_1 = -R/16$ et $b_1 = 0$ $(P_1 = P'_1 = C)$

Pour
$$P_2 = P_2' = S$$
, $b_2 = 0 - \frac{R}{16} \left(\frac{1}{\overline{F_p'S}} - \frac{1}{\overline{F_p'C}} \right) = -\frac{R}{16} \left(\frac{1}{-\frac{R}{2}} - \frac{1}{\frac{R}{2}} \right) = \frac{1}{4}$



Aberrations du miroir sphérique $\infty \rightarrow F'$

Aberration sphérique : a = -R/16

Coma : b= 0 lorsque P'= Centre de courbure

b=1/4 lorsque P'= Sommet → b indépendant de la conicité

Courbure de champ : C' = -2/R lorsque P'= Sommet C' = +2/R lorsque P'= Centre de courbure

Preuve:
$$a_1 = -R/16$$
 et $b_1 = \frac{1}{4}$ et $C_1 = -\frac{2}{R}$ $(P_1 = P_1' = S)$
Pour $P_2 = P_2' = C$, $C_2 = -\frac{2}{R} + 8\frac{1}{4}\left(\frac{4}{R}\right) - 4\frac{R}{16}\left(\frac{4}{R}\right)^2 = \frac{2}{R}$



Aberrations du miroir sphérique ∞ → F'

Aberration sphérique : a = -R/16

Coma: b= 0 lorsque P'= Centre de courbure

b=1/4 lorsque P'= Sommet → b indépendant de la conicité

Courbure de champ : C' = -2/R lorsque P'= Sommet C' = +2/R lorsque P'= Centre de courbure

Astigmatisme: A'= 2/R lorsque P'= Sommet

A'= 0 lorsque P'= Centre de courbure

Preuve:
$$a_1 = -R/16$$
 et $b_1 = \frac{1}{4}$ et $A_1 = \frac{2}{R}$ $(P_1 = P_1' = S)$

Pour
$$P_2 = P_2' = C$$
, $A_2 = \frac{2}{R} - 4\frac{1}{4}\left(\frac{4}{R}\right) + 2\frac{R}{16}\left(\frac{4}{R}\right)^2 = 0$



Aberrations du miroir sphérique ∞ → F'

Aberration sphérique : a = -R/16

Coma : **b= 0** lorsque **P'= Centre de courbure** b=1/4 lorsque P'= Sommet → b indépendant de la conicité

Courbure de champ : C' = -2/R lorsque P'= Sommet C' = +2/R lorsque P'= Centre de courbure

Astigmatisme : A'= 2/R lorsque P'= Sommet

A'= 0 lorsque P'= Centre de courbure

Distorsion: D = 0 lorsque P'= Sommet, ou Centre de courbure



Exercice 1: distorsion introduite par un

On considère un dioptre sphérique de rayon de courbure R faisant l'image (dans le milieu d'indice n') d'un objet situé hors d'axe à une distance z' (dans le milieu d'indice n). La pupille est située sur le dioptre.

- 1. Calculer, par un développement limité du grandissement transversal g_y , le coefficient D de distorsion du $3^{\rm e}$ ordre introduite par le dioptre dans ces conditions. Exprimer D en fonction de z', n et n'.
- 2. En déduire la distorsion relative de l'image, dy'/y', en fonction de l'angle θ' sous lequel est vue l'image. Le résultat dépend-il du rayon de courbure R ? Expliquer.
- 3. Une nageuse au bord de la piscine se penche au-dessus de l'eau (indice n=1.33) et observe le fond quadrillé de la piscine (à l'aplomb du bord). Son champ visuel lui permet de voir net jusqu'à 10° hors d'axe. La distorsion introduite par la surface de l'eau est-elle gênante ?



Exercice 2 : distorsion introduite par un miroir sphérique en infini-foyer

On considère un miroir sphérique faisant l'image d'un objet à l'infini hors d'axe.

- 1. Que vaut le coefficient de distorsion D du miroir lorsque ...
 - a. le miroir porte la pupille ? Justifiez.
 - b. la pupille est au centre de courbure du miroir ? Justifiez.
- 2. En appliquant la formule de variation de la distorsion avec la position de la pupille, pour quelle autre position de la pupille la distorsion du miroir s'annule-t-elle ? Justifiez.
- 3. Expliquez cette 3^e position de pupille géométriquement par une construction de rayons.